

بررسی تاثیر اضافه شدن تترااتیل اورتوسیلیکات (TEOS) بر ساختار میکروسکوپی و خواص لومینسانس نانو ذرات مواد

فسفری $Y_2O_3: Tb^{3+}$ *

مقاله علمی - پژوهشی

سید مهدی رفیعیانی^(۱)

چکیده

در این پژوهش ابتدا نانو پودر $Y_2O_3: Tb^{3+}$ با اندازه تقریبی ذرات ۸۰ نانومتر به روش سل-ژل فرآوری گردید. سپس از طریق اضافه نمودن تترااتیل اورتوسیلیکات (TEOS) به مواد اولیه مورد نظر، ترکیبات دوپ شده YSO در حضور مقادیر مختلفی از فاز SiO_2 تولید و ساختار کریستالی و میکروسکوپی و همچنین خواص لومینسانس مواد تولید شده مورد ارزیابی قرار گرفت. به منظور مطالعه فازهای تشکیل شده و همچنین اندازه ذرات و مورفولوژی ساختارهای سنتز شده $Y_2O_3: Tb^{3+}$ و ترکیبات YSO: Tb^{3+} ، به ترتیب آنالیزگر پراش با اشعه ایکس (XRD) و میکروسکوپ الکترونی روبشی نشر میدانی (FESEM) مورد استفاده قرار گرفتند. در این تحقیق بصورت جالبی دیده شد که افزودن سیلیکا باعث رشد چشمگیری در اندازه دانه ها می‌گردد و این اندازه به حدود ۴۰۰-۳۰۰ نانومتر می‌رسد. ضمناً با به‌خدمت‌گیری یک آنالیزگر خواص فتو لومینسانس، خواص نوری این مواد مورد بررسی قرار گرفت. در نهایت مشخص شد که در حالتیکه مقدار فاز SiO_2 مصرفی به اندازه استوکیومتری لازم جهت تشکیل Y_2SiO_5 باشد بالاترین شدت انتشار حاصل شده و مقادیر بیشتری از SiO_2 به کاهش این شدت منجر می‌گردد.

واژه های کلیدی سل-ژل، خواص نوری، لومینسانس، نانو، مواد فسفری.

Study of Addition of Tetraethyl Orthosilicate (TEOS) on Microstructure and Luminescence Properties of Nanoparticles of $Y_2O_3: Tb^{3+}$ Phosphor Materials

S. M. Rafiaei

Abstract

In this investigation, firstly $Y_2O_3: Tb^{3+}$ nano-powders with the approximate size of 80 nm was synthesized via sol-gel approach. Then, with the addition of Tetraethyl orthosilicate (TEOS) to the considered raw materials, the doped YSO compounds were produced in the presence of different amounts of SiO_2 and crystallographic and microscopic structure and also the luminescence properties of the produced materials were evaluated. To study the formed phases and also particle size and morphology of $Y_2O_3: Tb^{3+}$ and YSO: Tb^{3+} synthesized structures, X-ray diffraction (XRD) and field emission scanning electron microscope (FESEM) were used. In this research, interestingly it was seen that the addition of silica results in the severe grain growth and this size reaches to 300-400 nm. In addition, with the employment of photoluminescence analyzer, the optical properties of these materials were studied. Finally, it was determined that in a case that the quantity of consumed SiO_2 phase is equal to the stoichiometric values required for the formation of Y_2SiO_5 , the highest emission intensity is achieved and the higher amounts of SiO_2 leads to the reduction of intensity.

Key words Sol-Gel, Optical Properties, Luminescence, Nano, Phosphor Materials.

* تاریخ دریافت مقاله ۹۷/۳/۲۵ و تاریخ پذیرش آن ۹۸/۴/۱۷ می‌باشد.

مقدمه

در سالهای اخیر فسفرها با خواص بسیار متنوع و مطلوبی که از خود نشان داده اند کاربردهای بسیار وسیعی در صنایع مختلف پیدا نموده اند [4-1]. از جمله این کاربردها می توان به قطعات الکترونیکی، لیزرهای حالت جامد، ال ای دی ها، سلولهای خورشیدی، حسگرهای نوری و نمایشگرها اشاره نمود. خواص لومینسانس این فسفرها معمولا از طریق دوپ کردن عناصر نادر خاکی و یا لاتناید ها تامین می گردد. از جمله این عناصر می توان به یوروم، سریم، گادالانیم و دیسپرسیم اشاره نمود که این عناصر در لایه آخر تراز الکترونی خود دارای اربیتال های می باشند. بطور کلی Y_2O_3 به عنوان یک ماده اکسیدی میزبان در تولید مواد فسفری شناخته شده است که می تواند عناصر مختلفی از لاتناید ها را در خود جای داده و دارای کاربردهای متعددی در زمینه های صفحات نمایش با وضوح و کارایی بالا، تقویت سلولهای خورشیدی، دیودها، حسگرهای نوری، لیزر و همچنین مواد زیست سازگار باشد [11-5]. در واقع این ماده اکسیدی که دارای شبکه کریستالی مکعبی است خواص نوری جالبی از خود نشان می دهد و به همین واسطه به شدت مورد توجه پژوهشگران قرار گرفته است. مروری بر منابع نشان می دهد که اکسید ایتیریم توسط روش های متنوعی مانند سنتز احتراقی، هایدروترمال، سل-ژل، حالت جامد و الکتروریسی قابل تولید می باشد [20-12]. در بین تکنیک های مذکور، روش سل-ژل دارای اهمیت ویژه ای است زیرا با امکانات نسبتا ساده ای به آسانی قابل اجرا می باشد. به بیان دیگر برای فرآوری مواد فسفری از این تکنیک، نیازی به استفاده از دماهای بالا و همچنین تجهیزات گران قیمت نیست و لذا این روش به لحاظ اقتصادی بسیار مقرون به صرفه و مناسب می باشد. همانطور که قبلا نیز به آن اشاره شد عناصر نادر خاکی متعددی به عنوان ناخالصی و عامل ایجاد خواص لومینسانس می توانند به ایتیریا اضافه شوند. نکته قابل توجه آنست که این عناصر معمولا دارای قیمت بسیار بالایی هستند و اگرچه میزان مصرف آنها کم است ولی نقش مهمی در افزایش قیمت تمام شده این مواد ایفا می نمایند. یکی از راه کارهای کاهش قیمت این مواد فسفری استفاده از اضافه شونده هایی ارزان

قیمت است که از جمله این مواد میتوان به اکسید سیلیسیم اشاره نمود. با توجه به این واقعیت که عنصر سیلیسیم دارای فراوانی بسیار بالایی در پوسته کره زمین است اکسید آن دارای قیمت بسیار پایینی می باشد. از طرف دیگر باید بدانیم که مطابق با تحقیقات انجام شده، SiO_2 خنثی بوده و باعث بروز اختلالی در خواص نوری مواد فسفری نمی گردد [21]. مطابق با نتایج حاصل از پژوهش هایی که قبلا در این زمینه انجام شده است، افزودن سیلیکا به مواد لومینسانس علاوه بر کاهش هزینه تمام شده این مواد، منجر به تقویت رفتار تحریک و انتشار آنها می گردد [22].

بر اساس این مقدمه، در این پژوهش ابتدا $Y_2O_3:Eu^{+3}$ به عنوان ماده مرجع با استفاده از روش سنتز سل-ژل فرآوری گردید. سپس از طریق اضافه نمودن TEOS به مواد اولیه مورد نظر، ترکیبات YSO در حضور مقادیر مختلفی از سیلیکا تولید و در نهایت فازهای کریستالی، ساختار میکروسکوپی و خواص فتولومینسانس این مواد مورد مطالعه و واکاوی قرار گرفت. برای این منظور مشخصه یاب طیف های پراش (توسط اشعه ایکس)، میکروسکوپ الکترونی روبشی و همچنین آنالیزگر خواص لومینسانس به خدمت گرفته شدند.

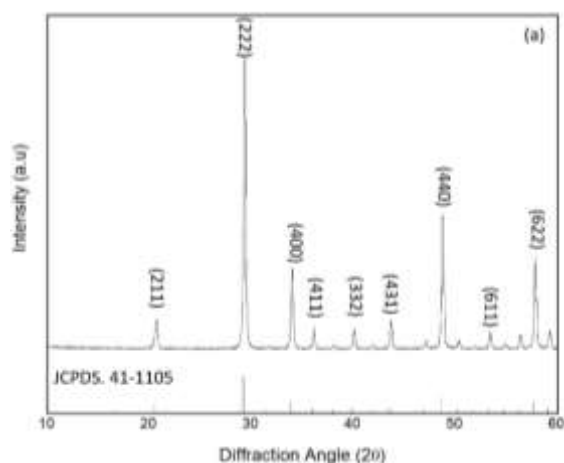
مراحل آزمایشگاهی

سنتز نانو مواد

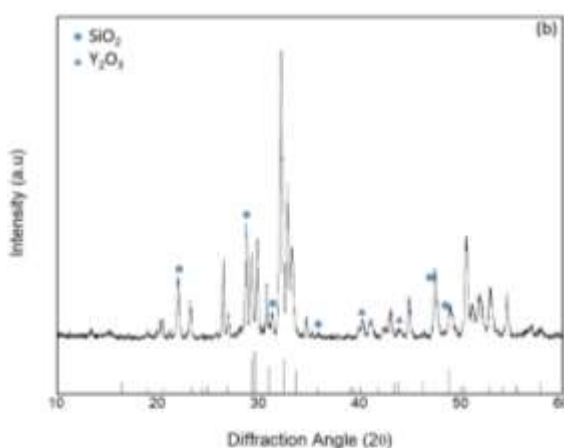
برای تولید نانو پودر $Y_2O_3:Tb^{+3}$ روش سل-ژل در مورد استفاده قرار گرفت. مواد اولیه شامل $Y(CH_3COO)_3.H_2O$ ، $Tb(CH_3COO)_3.H_2O$ و TEOS ($SiC_8H_{20}O_4$) می باشند که این مواد با بالاترین درجه خلوص ممکن از شرکت سیگما آلد ریچ خریداری و بدون هرگونه تغییری مورد استفاده قرار گرفتند. برای این منظور محلولی متشکل از $Y(CH_3COO)_3.H_2O$ ، $Tb(CH_3COO)_3.H_2O$ در مقادیر بسیار اندکی آب مقطر حل شده و سپس با اضافه نمودن اسید نیتریک در شرایطی که محلول تحت اغتشاش قرار داشت، pH محلول به حدود ۱ کاهش پیدا نمود. پس از آن مقادیر محاسبه شده ای از TEOS به همراه اتانول به محلول متلاطم اضافه گردید تا محلولی شفاف که سل نامیده می شود به دست

نتایج و بحث

نتایج XRD. شکل (۱) طیف‌های XRD مربوط به نمونه های A و D را نشان می‌دهد. مطابق با شکل (۱-الف) واضح است که در شرایطی که از ماده TEOS در تولید مواد فسفری استفاده نشود پیک‌های موجود به خوبی از الگوی تفرق JCPDS با شماره ۴۱-۱۱۰۵ که متعلق به Y_2O_3 می‌باشد تبعیت می‌نماید. در این تصویر صفحات اصلی تفرق نشان داده شده‌اند که شامل صفحات (۲۱۱)، (۲۲۲)، (۴۰۰)، (۴۱۱)، (۴۳۱)، (۴۴۰)، (۶۱۱) و (۶۲۲) هستند. اما شکل (۱-ب) نشان می‌دهد که به تدریج با افزودن مقادیر مشخصی از سیلیکا، الگوی تفرق کاملاً تغییر می‌کند.



(الف)



(ب)

شکل ۱ نمودارهای XRD مربوط به نمونه های الف) A و ب) D پس از حرارت دادن در دمای ۱۲۰۰ درجه سانتی‌گراد

آمد. محلول حاصل در دمای اتاق نگهداری شد تا ژل مورد نظر تولید گردد. واضح است برای تولید $Y_2O_3:Tb^{3+}$ مراحل فوق بدون استفاده از TEOS انجام گردید. سپس محصول حاصل در دمای ۵۰ درجه سانتی‌گراد در یک آون به مدت ۳ روز حرارت داده شد تا کاملاً خشک گردد. در نهایت نیز به منظور حذف مواد آلی باقیمانده و همچنین رسیدن به ساختار کریستالی مناسب، محصولات به دست آمده در دمای ۱۲۰۰ درجه سانتی‌گراد به مدت ۱ ساعت حرارت داده شد. در جدول (۱) ترکیبات $Y_2O_3:Tb^{3+}$ و $YSO:Tb^{3+}$ فرآوری شده با کدهای A-F نشان داده شده‌اند.

جدول ۱ کد و ترکیب مواد سنتز شده

کد	ترکیب	R
A	$Y_2O_3:Tb^{3+}$	0
B	$Y_2O_3:Tb^{3+}/SiO_2$	0.25
C	$Y_2O_3:Tb^{3+}/SiO_2$	0.5
D	$Y_2O_3:Tb^{3+}/SiO_2$	1
E	$Y_2O_3:Tb^{3+}/SiO_2$	2
F	$Y_2O_3:Tb^{3+}/SiO_2$	4

در جدول فوق پارامتر R نشان دهنده نسبت میزان SiO_2 مصرفی به اندازه استوکیومتری لازم این ماده برای تشکیل ترکیب Y_2SiO_5 می‌باشد.

آنالیز مواد

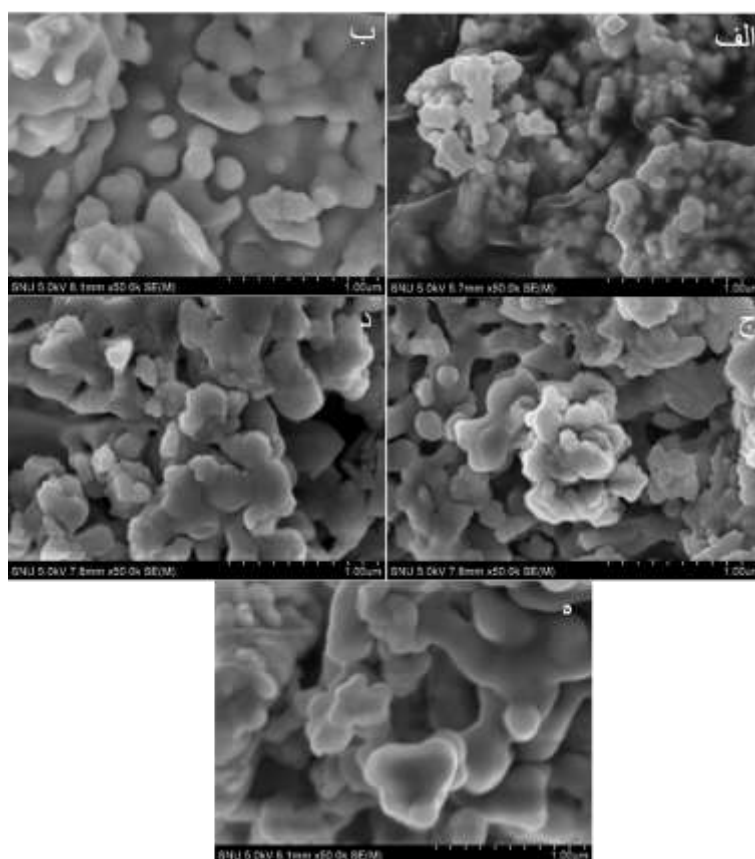
ساختار مواد تولید شده توسط مشخصه‌یاب پراش اشعه ایکس (XRD Rigaku D/Max-3C) و با طول موج nm $\lambda = 0.154$ با آند دوار و منبع تابش مسی مورد بررسی قرار گرفت. همچنین با به خدمت گرفتن میکروسکوپ الکترونی روبشی (FESEM, ZEISS SUPRA 55VP, Germany) مورفولوژی ساختارهای حاصل مطالعه شد. در نهایت نیز طیف تحریک و انتشار مواد فسفری حاصل با استفاده از یک آنالیزگر فتولومینه‌سانس (PL Horiba Jobin Yvon, Japan) حاصل گردید.

را نشان می‌دهد. واضح است که ماده A که فاقد اکسید سیلیسیم می‌باشد دارای اندازه تقریبی ذرات ۸۰ نانومتر است. بصورت جالبی مشاهده می‌گردد که اندازه این ذرات به تدریج با افزایش میزان اکسید سیلیسیم افزایش یافته است. در نهایت دیده می‌شود که در نمونه های E و F اندازه ذرات رشد چشمگیری یافته و به حدود ۴۰۰-۳۰۰ نانومتر رسیده‌اند. نگاهی اجمالی به این تصاویر نشان می‌دهد که نوعی بهم چسبیدن ذرات و آگلومراسیون بین ذرات سنتز شده اتفاق افتاده است. در حقیقت اضافه شدن TEOS ضمن تولید ترکیبات YSO باعث نوعی جوش خوردن ذرات مواد فسفوری $Y_2O_3:Tb^{+3}$ شده است. همچنین دیده می‌شود که با افزودن TEOS سطح ذرات فرآوری شده هموارتر، مسطح‌تر و عاری از پستی و بلندی‌های میکروسکوپی شده است که این امر بر تقویت خواص نوری مواد فسفوری مؤثر است [23].

نکته قابل توجه آنست که ماده حاصل تطابق کاملی با الگوی تفرق JCPDS با شماره ۱۴۵۶-۲۱ (که متعلق به Y_2SiO_5 است) ندارد. در واقع با توجه به الگوی پیک‌های تفرق شماره کارت ۱۴۲۵-۳۹ که متعلق به SiO_2 می‌باشد این واقعیت روشن می‌شود که پیک‌هایی که در زوایای (2θ) ۲۱/۹۸، ۲۸/۴۴، ۳۱/۴۶، ۳۶/۰۸، ۴۷/۰۶ و ۴۸/۶۱ دیده می‌شوند نشان دهنده حضور سیلیکا در ترکیب فرآوری شده می‌باشند. ضمناً همانطور که در این شکل به تصویر کشیده شده است، پیک‌هایی نیز متعلق به ماده اکسیدی Y_2O_3 می‌باشند. لذا در نهایت می‌توان نتیجه گرفت که ماده فرآوری شده ترکیبی از SiO_2 و Y_2SiO_5 ، Y_2O_3 می‌باشد.

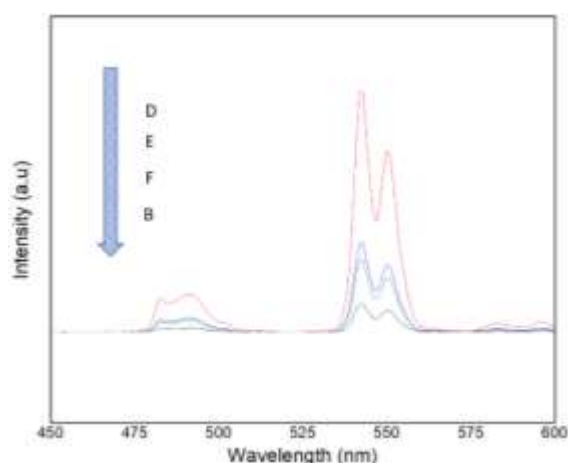
مشاهدات میکروسکوپی

شکل (۲) تصویر حاصل از مطالعه میکروسکوپی مواد سنتز شده با استفاده از میکروسکوپ الکترونی روبشی نشر میدانی



شکل ۲ تصاویر FESEM مربوط مواد فسفوری مختلف الف) A (ب) B (ج) C (د) D (ه) E

موج تحریک یاد شده (۲۵۰ نانومتر) قرار گرفتند در نظر گرفته شد. مقایسه این نمودارها نشان می‌دهد که بیشترین شدت انتشار مربوط به ترکیب D می‌باشد. در واقع زمانی که نسبت SiO_2 مصرفی به میزان استوکیومتری آن برای تشکیل Y_2SiO_5 برابر ۱ باشد بالاترین میزان انتشار حاصل می‌گردد. این تقویت رفتار انتشار به دلیل افزایش اندازه ذرات و همچنین هموار شدن سطح ذرات می‌باشد [23].



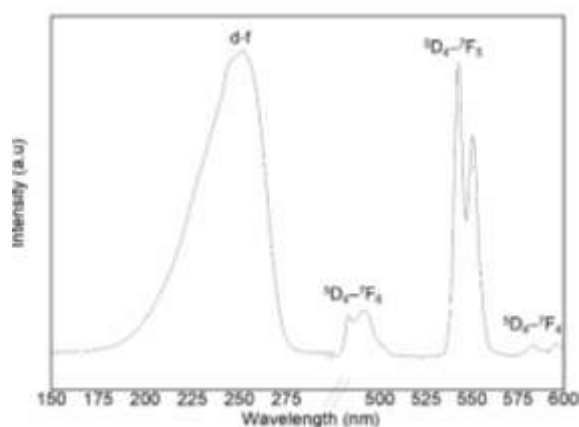
شکل ۴ نمودار انتشار طیف مربوط به مواد $\text{Y}_2\text{O}_3:\text{Tb}^{+3}/\text{Y}_2\text{SiO}_5:\text{Tb}^{+3}$ که در حضور مقادیر مختلفی از TEOS فرآوری شده اند (زمانیکه طول موج تحریک برابر ۲۵۰ نانومتر باشد)

پس از آن با افزایش میزان SiO_2 شدت انتشار این مواد کاهش می‌یابد (نمونه‌های E و F) که این رفتار با حضور ناخالصی‌های سیلیکایی در مجاورت Y_2SiO_5 قابل توجیه می‌باشد. ذکر این نکته لازم است که کاهش شدت انتشار یاد شده به این مفهوم است که اثر مخرب ناشی از ناخالصی‌ها بر اثرات مثبتی که رشد و هموار شدن ذرات بر شدت انتشار مواد فسفری داشته‌اند غالب می‌باشد. در نهایت نیز مشاهده می‌گردد که کمترین شدت انتشار مربوط به نمونه B می‌باشد. این نتیجه نشان می‌دهد که حضور ناخالصی‌های سیلیکایی منجر به کاهش چشمگیر شدت انتشار می‌گردد. به بیان دیگر با توجه به جدول (۱) واضح است که در نمونه B میزان سیلیکای مصرفی برای تشکیل ترکیبات YSO کافی نمی‌باشد و لذا سیلیکای اضافه شده به شکل ناخالصی وجود خواهد

خواص لومینسانس

نمودار کلی طیف‌های تحریک و انتشار ماده $\text{Y}_2\text{SiO}_5:\text{Tb}^{+3}$ در شکل (۳) نشان داده است. دیده می‌شود که در محدوده طول موج ۱۷۵ تا ۲۸۰ نانومتر پیک قدرتمند و عریضی وجود دارد که مربوط به رفتار تحریک این ماده است. این پیک که حداکثر شدت آن در طول موج ۲۵۰ نانومتر رخ داده، ناشی از d-f است. قسمت راست این نمودار نشان می‌دهد که در شرایطی که این ماده تحت طول موج ۲۵۰ نانومتر تحریک شود، انتشاری در محدوده ۴۵۰ تا ۶۰۰ نانومتر از خود بروز می‌دهد که پیکهای این ناحیه متعلق به $^5\text{D}_4-^7\text{F}_j$ ($j=6,5,4$) می‌باشند. بررسی تغییرات شدت انتشار بر حسب طول موج در این مواد نشان می‌دهد که قوی‌ترین پیک انتشار در طول موج تقریبی ۵۴۱/۵ نانومتر رخ می‌دهد و متعلق به انتقال دو قطبی $^5\text{D}_4-^7\text{F}_5$ است [24].

بعلاوه، پیک‌های نسبتاً ضعیف‌تری نیز در ۴۸۱، ۴۹۰، ۵۸۰ و ۵۹۵ نانومتر دیده می‌شوند که مربوط به سایر دو قطبی‌ها یعنی $^5\text{D}_4-^7\text{F}_6$ و $^5\text{D}_4-^7\text{F}_4$ می‌باشند و در مقایسه با $^5\text{D}_4-^7\text{F}_5$ از اهمیت کمتری برخوردار هستند.



شکل ۳ نمودار کلی طیف‌های تحریک و انتشار مواد $\text{Y}_2\text{SiO}_5:\text{Tb}^{+3}$

در شکل (۴) نمودار انتشار طیف مربوط به مواد $\text{Y}_2\text{O}_3:\text{Tb}^{+3}/\text{Y}_2\text{SiO}_5:\text{Tb}^{+3}$ که در حضور مقادیر مختلفی از TEOS فرآوری شده‌اند نشان داده شده است. برای بررسی رفتار لومینسانس، نمودار انتشار زمانیکه این مواد تحت طول

داشت.

بالاترین و پایین ترین مقادیر شدت انتشار مواد YSO در ترکیبات D و B یعنی زمانیکه نسبت میزان SiO_2 مصرفی به اندازه استوکیومتری لازم این ماده برای تشکیل ترکیب Y_2SiO_5 به ترتیب برابر ۱ و ۰/۲۵ باشد رخ می دهد.

نتیجه گیری

در این تحقیق نانوذرات $\text{Y}_2\text{O}_3: \text{Tb}^{+3}$ به روش سل-ژل فرآوری گردید. سپس با اضافه نمودن TEOS به مواد اولیه مورد نظر، ترکیبات $\text{YSO}/\text{Y}_2\text{O}_3$ تولید گردید. در این پژوهش بصورت جالبی دیده شد که افزودن مقادیر مختلفی از سیلیکا باعث رشد چشمگیری در اندازه دانه ها از حدود ۸۰ به ۴۰۰ نانومتر می گردد. در نهایت نیز نشان داده شد که

تقدیر و تشکر

از حمایت های بسیار زیاد سرکار خانم شهزاد ملک پور کوپائی مراتب قدردانی بعمل می آید.

مراجع

- Zhang X., Fu Y., Zhao Z., Yang J., Li N., Zhang M., "Statistical design for the optimization of the red to orange ratio in $\text{YBO}_3: \text{Eu}^{3+}$ phosphors", *Journal of Luminescence*, Vol. 194, pp.311-315 (2018).
- Yano K., Takeshita S., Iso Y., Isobe T., "Combinatorial optimization of the atomic compositions for green-emitting $\text{YBO}_3: \text{Ce}^{3+}, \text{Tb}^{3+}$ and red-emitting $\text{YBO}_3: \text{Ce}^{3+}, \text{Tb}^{3+}, \text{Eu}^{3+}$ phosphors using a microplate reader", *RSC Adv.* Vol. 7, pp. 17586-17592 (2017).
- Rafiaei S.M., Kim A., Shokouhimehr M., "Enhanced luminescence Properties of Combustion Synthesized $\text{Y}_2\text{O}_3: \text{Gd}$ Nanostructure", *Current Nanoscience*, Vol. 12, pp. 244-249 (2016).
- Shokouhimehr M., Rafiaei S.M., "Combustion synthesized $\text{YVO}_4: \text{Eu}^{3+}$ phosphors: effect of fuels on nanostructure and luminescence properties", *Ceramics International*, Vol. 43, pp. 11469-11473 (2017).
- Dai Q.L., Foley M.E., Breshike C.J., Lita A., Strouse G.F., "Ligand-passivated $\text{Eu}: \text{Y}_2\text{O}_3$ Nanocrystals as a Phosphor for White Light Emitting Diodes", *Journal of American Chemistry Society*, Vol.133, pp. 15475-15486 (2011).
- Qin X.P., Zhou G.H., Yang H., Yang Y., Zhang J., Wang S.W., "Synthesis and upconversion luminescence of monodispersed, submicron-sized $\text{Er}^{3+}: \text{Y}_2\text{O}_3$ spherical phosphors", *Journal of Alloys and Compounds*, Vol. 493, pp. 672-677 (2010).
- Singh, V., Rai, V. K., Ledoux-Rak, I., Watanabe, S., Gundu, Rao, T. K., Chubaci, J., Badie, L., Pelle, F., Ivanova, S., "NIR to visible up-conversion, infrared luminescence, thermoluminescence and defect centres in $\text{Y}_2\text{O}_3: \text{Er}$ phosphor", *Journal of Physics D: Applied Physics*, Vol. 42, pp. 065104-065112 (2009).
- Vetrone F., Boyer J.C., Capobianco J.A., Speghini A., Bettinelli M., "A spectroscopic investigation of trivalent lanthanide doped Y_2O_3 nanocrystals", *Nanotechnology*, Vol. 15, pp. 75-81 (2004).
- Som S., Sharma S.K., " $\text{Eu}^{3+}/\text{Tb}^{3+}$ -codoped Y_2O_3 nanophosphors: Rietveld refinement, bandgap and photoluminescence optimization", *Journal of Physics D: Applied Physics*, Vol. 45, pp. 415102-415112 (2012).

10. Atabaev T.S., Hwang Y.H., Kim H.K., "Color-tunable properties of Eu^{3+} - and Dy^{3+} -codoped Y_2O_3 phosphor particles", *Nanoscale Research Letters*, Vol. 7, pp. 556-562 (2012).
11. Sukul P.P., Mahata M.K., Kumar K., "NIR optimized dual mode photoluminescence in Nd doped Y_2O_3 Ceramicphosphor", *Journal of Luminescence*, Vol. 185, pp. 92-98 (2017).
12. Gao L., Wang G., Zhu H., Zhou W., Ou G., "Hydrothermal synthesis of Y_2O_3 coated $\text{Y}_2\text{O}_3:\text{Eu}^{3+}$ nanotubes for enhanced photoluminescence properties". *Materials Research Bulletin*, Vol. 70, pp. 876-880 (2015).
13. Mancic L., Lojpur V., Marinkovic B.A., Dramicanin M.D., Milosevic O., "Hydrothermal synthesis of nanostructured Y_2O_3 and $(\text{Y}_{0.75}\text{Gd}_{0.25})_2\text{O}_3$ based phosphors", *Optical Materials*, Vol. 35, pp. 1817-1823 (2013).
14. Vazquez R.M., Hernandez M.G., Marure A.L., Camacho P.Y.L., Ramirez A.D.J.M., Conde H.I.B., "Sol-Gel Synthesis and Antioxidant Properties of Yttrium Oxide Nanocrystallites Incorporating P-123", *Materials*, Vol. 7, pp. 6768-6778 (2014).
15. Koo H.Y., Ju S.H., Hong S.K., Jung D.S., Kang Y.C., Jung K.Y., "Effect of Boric Acid Flux and Drying Control Chemical Additive on the Characteristics of $\text{Y}_2\text{O}_3:\text{Eu}$ Phosphor Particles Prepared by Spray Pyrolysis", *Japanese Journal of Applied Physics*, Vol. 45, pp. 9083-9087 (2006).
16. Rafiaei S.M., Kim A., Shokouhimehr M., "Enhanced luminescence Properties of Combustion Synthesized $\text{Y}_2\text{O}_3:\text{Gd}$ Nanostructure", *Current Nanoscience*, Vol. 12, pp. 244-249 (2016).
17. Shokouhimehr M., Rafiaei S.M., "Combustion synthesized $\text{YVO}_4:\text{Eu}^{3+}$ phosphors: effect of fuels on nanostructure and luminescence properties", *Ceramics International*, Vol. 43, pp. 11469-11473 (2017).
18. Kabira M., Ghahari M., Afarani M.S., "Co-precipitation synthesis of nano $\text{Y}_2\text{O}_3:\text{Eu}^{3+}$ with different morphologies and its photoluminescence properties", *Ceramics International*, Vol. 40, pp. 10877-10885 (2014).
19. Pang Q., Shi J., Liu Y., Xing D., Gong M., Xu N., "A Novel Approach for Preparation of $\text{Y}_2\text{O}_3:\text{Eu}^{3+}$ Nanoparticles by Microemulsion-Microwave Heating", *Materials Science and Engineering B*, Vol. 103, pp. 57-61 (2003).
20. Yu H., Wang H., Li T., Che R., "Preparation and luminescent properties of $\text{YBO}_3:\text{Eu}$ nanofibers by electrospinning", *Applied Physics A*, Vol. 108, pp. 223-227 (2012).
21. Ogi T., Nandiyanto A.B.D., Okino K., "Towards better phosphor design: effect of SiO_2 nanoparticles on photoluminescence enhancement of $\text{YAG}:\text{Ce}$ ". *ECS Journal of Solid State Science and Technology*, Vol. 2, pp. 91-95 (2013).
21. Rafiaei S.M., Kang S., "Effect of nano-sized SiO_2 on the optical properties of $\text{YVO}_4:\text{Eu}^{3+}$ phosphors", *Composite Interfaces*, Vol. 24, pp. 319-333 (2017).
22. Do H.S., Kim E.J., Hong S.H., "Improved moisture resistance of $\text{SrS}:\text{Eu}^{2+}$ phosphors with nanoscale SiO_2 coating", *Journal of Luminescence*, Vol. 130, pp. 1400-1403 (2010).

23. Jiang L., Zhang Z., Xiao Y., Wang Q., "Novel templates directed synthesis of $\text{YVO}_4: \text{Eu}^{3+}$ (red) and $\text{Y}_2\text{O}_3\text{-SiO}_2: \text{Tb}^{3+}$ (green) phosphors", *Journal of Luminescence*, Vol. 132, pp. 2822–2825 (2012).